

ИЗВЕСТИЯ

ТОМСКОГО ОРДЕНА ОКТЯБРЬСКОЙ РЕВОЛЮЦИИ И ОРДЕНА ТРУДОВОГО
КРАСНОГО ЗНАМЕНИ ПОЛИТЕХНИЧЕСКОГО ИНСТИТУТА им. С. М. КИРОВА

Том 229

1972

ВЫБОР СПОСОБА НАСТРОЙКИ ТЕРМОРЕЗИСТОРОВ ДЛЯ ВСТРОЕННОЙ ЗАЩИТЫ ЭЛЕКТРОДВИГАТЕЛЯ

В. Л. БРЫЗГАЛОВ, О. П. МУРАВЛЕВ, Э. К. СТРЕЛЬБИЦКИЙ

(Представлена научным семинаром кафедры электрических машин и отдела
электрических машин НИИ АЭМ)

Одним из основных вопросов разработки температурной защиты является определение допустимого рассеивания температур срабатывания [1]. Простые рассуждения приводят к выводу, что существует оптимальный разброс температур срабатывания, отклонения от которого в обе стороны приводят к повышению затрат в масштабе народного хозяйства. Увеличение допустимого разброса уменьшает расходы, связанные с настройкой защиты, но приводит к повышенному износу изоляции при перегрузках, если не изменять температуру обмотки в номинальном режиме. Если при проектировании защиты задана максимальная допустимая температура обмотки при перегрузке, то превышение температуры в номинальном режиме следует уменьшить, что связано с увеличением стоимости изготовления электродвигателя.

Уменьшение допустимого разброса приводит к удорожанию системы защиты. Наиболее правильным является определение величины разброса, исходя из требования обеспечения минимума суммы затрат на изготовление двигателя от повышенного износа в аварийных режимах и стоимости защиты. Однако решение вопроса в такой постановке выходит за рамки настоящей работы, поскольку оно связано со статистическим исследованием потока перегрузок в разнообразных областях электропривода. Указанные трудности усугубляются тем, что по самому замыслу защита ставится на двигателях, характер нагрузки которых недостаточно известен и характеризуется большим разбросом.

В данных обстоятельствах целесообразен следующий подход к определению допустимого разброса температур срабатывания. При проектировании конструкторы предусматривают некоторый тепловой запас, равный $6 \div 10^\circ\text{C}$. Этот запас необходим ввиду наличия некоторого разброса температур в номинальном режиме, вызванного разбросом потерь двигателя, разбросом тепловых проводимостей, ухудшением условий охлаждения и т. п. Поскольку термоприемник реагирует непосредственно на фактическую температуру данного двигателя, то можем допустить разброс температур срабатывания в пределах существующего теплового запаса, не уменьшая теплового использования двигателя, то есть принять допустимый разброс $\delta = 6 \div 10^\circ\text{C}$.

$$\delta \leq \sqrt{\delta_1^2 + \delta_2^2 + \delta_3^2 + \delta_4^2}, \quad (1)$$

где δ_1 — допустимый разброс характеристик партий термоприемников; δ_2 — погрешность настройки термоприемников; δ_3 — погрешность от не-

стабильности срабатывания термоприемников; δ_4 — погрешность из-за отклонений температуры в месте встраивания от температуры наиболее горячей точки обмотки.

В свою очередь погрешность δ_4 имеет составляющие:

δ_5 — погрешность из-за отклонения температуры от возмущения теплового поля обмотки при встраивании термоприемников; δ_6 — погрешность из-за перекоса температуры в обмотке; δ_7 — погрешность из-за отклонения температуры в месте встраивания (неточность монтажа по глубине и по окружности) от температуры горячей точки обмотки.

$$\delta_4 = \sqrt{\delta_5^2 + \delta_6^2 + \delta_7^2}. \quad (2)$$

Погрешность настройки термоприемников составляет $\delta_2 = 2^\circ\text{C}$, которая зависит от класса точности применяемых приборов. Погрешность от нестабильности срабатывания терморезисторов не превышает $\delta_3 = 2^\circ\text{C}$. Приведенные исследования показали, что погрешность δ_4 не превышает 4°C .

Учитывая изложенное выше и приняв $\delta = 8^\circ\text{C}$, получаем допустимый разброс температур срабатывания партии термоприемников δ_1 для электродвигателей с встроенной защитой

$$\delta_1 = \sqrt{\delta^2 - (\delta_2^2 + \delta_3^2 + \delta_4^2)} \approx 6^\circ\text{C}. \quad (3)$$

Промышленность выпускает терморезисторы для температурной защиты по паспортным данным с разбросом температур срабатывания

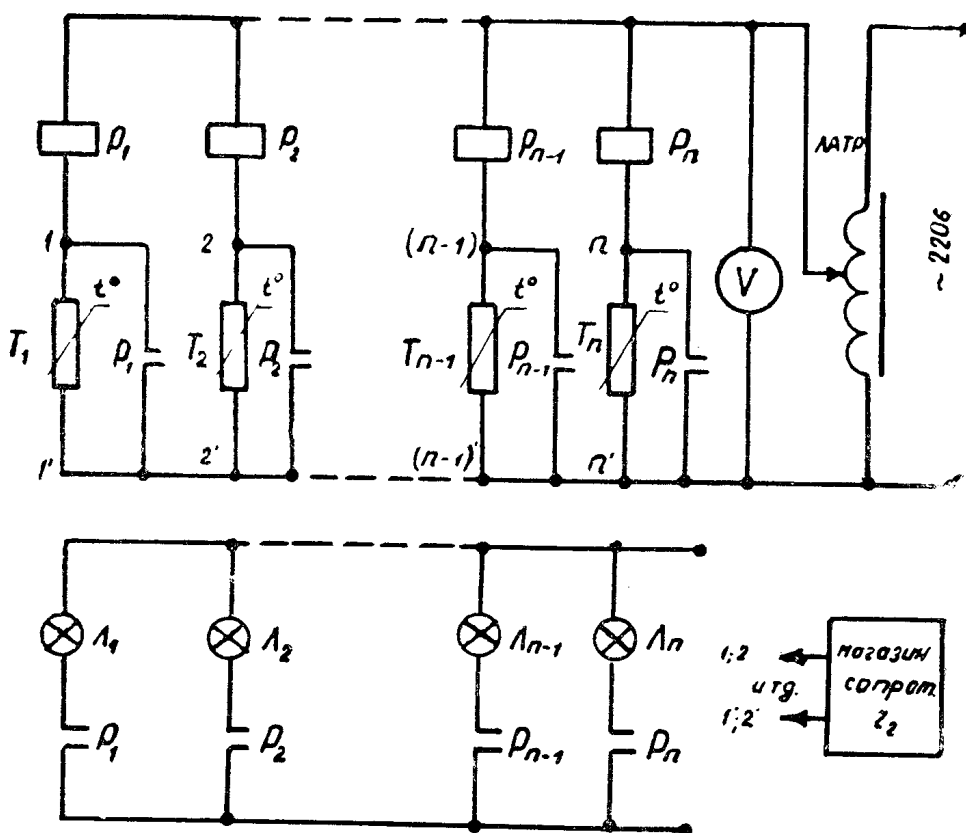


Рис. 1

20%, что составляет $(18-25)^\circ\text{C}$. Поэтому использование их в схемах температурных защит возможно после мероприятий, уменьшающих этот разброс.

Для определения закона распределения температуры срабатывания терморезисторов ТР-33, которые выпускаются заводом «Севкавэлектроприбор», г. Нальчик, была испытана партия терморезисторов объемом $n = 100$ штук. Испытания проводились по схеме рис. 1.

Статистическая обработка результатов испытаний показывает, что распределение температур срабатывания подчиняется нормальному закону.

Рассмотрим возможные способы настройки температурной защиты [2] и затраты на их обеспечение.

А. Подбор терморезисторов по группам с близкими параметрами

В этом случае подбираются терморезисторы, температура срабатывания которых находится в пределах

$$\Theta_{cp} \pm \delta_1,$$

где Θ_{cp} — температура настройки тепловой защиты.

Достоинство этого способа — не требуется дополнительной настройки, а недостаток — большое количество забракованных терморезисторов, что недопустимо при их дефицитности. На рис. 2 заштрихованная площадь определяет долю годных терморезисторов P :

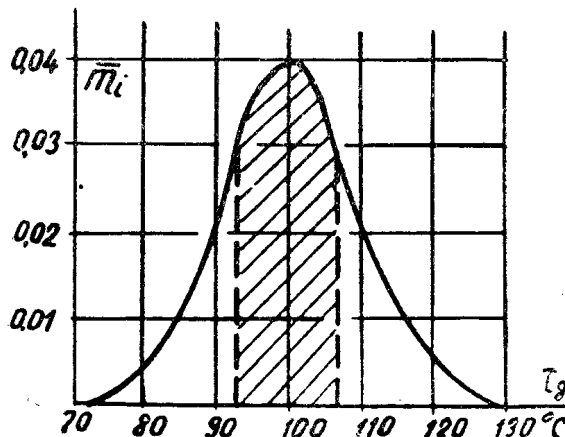


Рис. 2

$$P = \Phi(x) = \Phi\left(\frac{\Theta_{cp} - \delta_1, \Theta_{cp} + \delta_1}{\sigma}\right) = 0,45, \quad (4)$$

$\Phi(x)$ — функция Лапласа. Значения $\Phi(x)$ определяются по таблицам [3].

Расчет экономической эффективности каждого способа настройки будем производить для партии с $n = 1000$ терморезисторов.

Стоимость подбора терморезисторов

$$c_n = n' c_{отб}, \quad (5)$$

где $n' = \frac{n}{P}$ — число терморезисторов, которые подвергаются проверке

или настройке;

$c_{отб}$ — себестоимость работ при проверке или настройке одного терморезистора по калькуляции завода „Вольта“. Стоимость бракованных терморезисторов

$$c_b = (n' - n) c_t, \quad (6)$$

где c_t — стоимость терморезистора. Для ТР-33 $c_t = 0,6$ руб.

Питание терморезисторов осуществляется от добавочных катушек, которые размещаются на сердечнике контактора. Себестоимость этих катушек для питания трех терморезисторов, которые встраиваются в каждый двигатель для обеспечения тепловой защиты, составляет

$$c_k = \frac{n}{3} c'_k,$$

где c'_k — себестоимость добавочных катушек для одного двигателя.

Суммарные затраты на настройку встроенной температурной защиты

$$c_{\Sigma} = c_a + c_b + c_k. \quad (7)$$

По формулам (4) — (7) оцениваются затраты на различные способы настройки температурной защиты.

Б. Настройка терморезисторов изменением напряжения

Путем изменения напряжения питания терморезисторов можно изменить температуру срабатывания как в большую, так и в меньшую сторону (табл. 1). Если при допустимом разбросе партии $\delta_1 = 6^{\circ}\text{C}$ сделать три отпайки у катушек питания терморезисторов, которые обеспечили бы изменения напряжения $\Delta u = \pm 6$ в, то тогда доля терморезисторов, которые будут использованы (рис. 3), составит

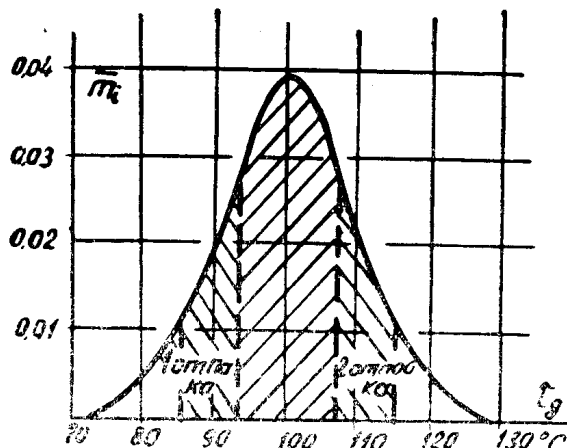


Рис. 3.

$$P = \Phi(x) = \Phi\left(\frac{\Theta_{cp} - 2\delta_1}{\sigma}\right) = 0,93$$

Таблица 1

u, b	20	25	30	35
$\bar{\Theta}, ^{\circ}\text{C}$	130,8	120,4	109,9	99,6
$\sigma, ^{\circ}\text{C}$	9,6	9,8	9,6	10

Достоинство этого метода — небольшой процент брака и простота технологии настройки, а недостаток — необходимо иметь катушку с отпайками, что усложняет ее изготовление.

В. Настройка терморезисторов шунтированием сопротивлением

Шунтируя сопротивлением терморезистора вызывает смещение вольтамперной характеристики в сторону больших токов, поэтому увеличивается температура срабатывания. Процент годных терморезисторов (рис. 4)

$$P = \Phi \left(\frac{-\infty, \Theta_{cp} + \delta_1}{\sigma} \right) = 0,726.$$

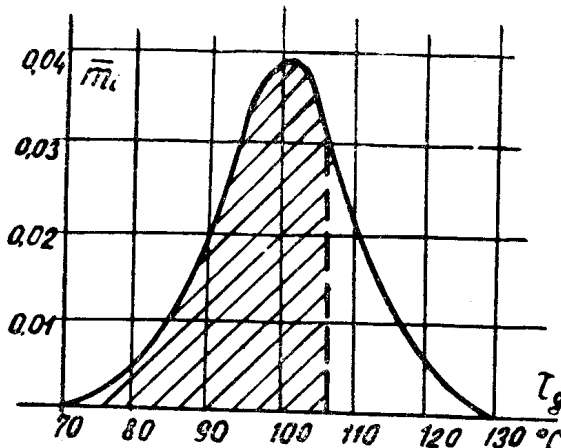


Рис. 4

Достоинство метода — выполнение питающей катушки без отпаек, недостаток — большая трудоемкость операции настройки и необходимость большого набора сопротивлений.

Г. Комбинированная настройка

Она заключается в следующем: при помощи изменения напряжения сдвигают среднюю температуру срабатывания терморезисторов Θ влево на 2τ , затем шунтируя сопротивлением устанавливают нуж-

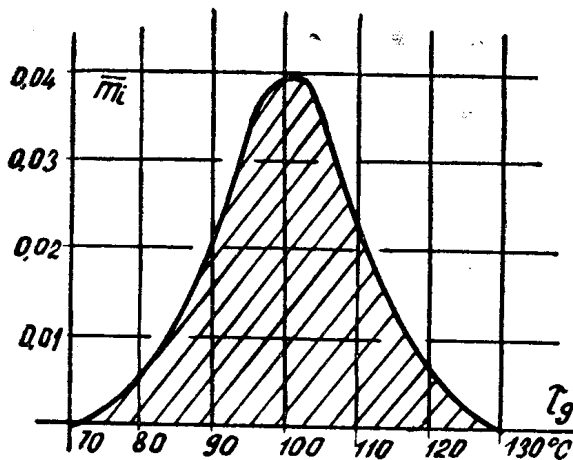


Рис. 5

ную температуру срабатывания. Это позволяет использовать почти всю партию терморезисторов (рис. 5). При этом способе себестоимость на-

стройки такая же, как в случае *B*, а себестоимость катушек — как в случае *B*.

Экономическая оценка всех способов защиты приведена в табл. 2.

Таблица 2

Виды затрат	Способы настройки			
	A	Б	В	Г
Процент брака	55	7	27,4	0,4
Стоимость отбраковки, c_b , руб.	733,2	420,0	227,8	2,4
Затраты настройки, c_n , руб.	122	74,9	150,2	120
Себестоимость питающей катушки, c_k , руб.	66,8	83,4	63,8	83,4
Суммарные затраты на настройку защиты, руб.	922	200,3	444,8	205,8

Увеличение допустимого разброса температур срабатывания терморезисторов партии δ_1 приводит к повышенному износу изоляции при перегрузках, что нежелательно. Уменьшение δ_1 повысит надежность обмотки, поэтому рассмотрим затраты при различной точности настройки 3 и 4,5°C. Результаты расчета представлены в табл. 3.

Таблица 3

Допустимая погрешность температур срабатывания партии терморезисторов, °C	Суммарные затраты настроек							
	А		Б		В		Г	
	руб.	%	руб.	%	руб.	%	руб.	%
6	922	100	200,3	21,8	444,8	48,3	205,8	22,3
4,5	1518,8	165	266,9	26,8	522,6	56,6	272,4	29,5
3	2331,8	251	333,3	36,2	604,0	65,6	338,8	36,7

Таким образом, табл. 2 и 3 позволяют оценить затраты настроенную тепловую защиту в зависимости от выбранной точности и способа настройки. Наиболее экономичным являются случаи *B* и *G*, но настройка только одним напряжением наиболее целесообразна, так как она более технологична: не требует дополнительных сопротивлений, их подбора и настройки. При острой дефицитности терморезисторов можно рекомендовать комбинированную настройку.

ЛИТЕРАТУРА

1. В. Л. Брызгалов. Встроенная тепловая защита асинхронных двигателей. Научно-технический сборник электротехнической промышленности, М., «Информэлектро», 1969, № 334.
2. Г. К. Негаев. Полупроводниковые термосопротивления в автоматике, «Техническая литература», УССР, 1962.
3. Н. В. Смирнов, И. В. Дудин-Барковский. Курс теории вероятности и математической статистики для технических приложений, «Наука», М., 1965.